

图谱论导引(第十一期)

今天讲讲李群在图论中的一个妙用: 例外图有限表示定理.

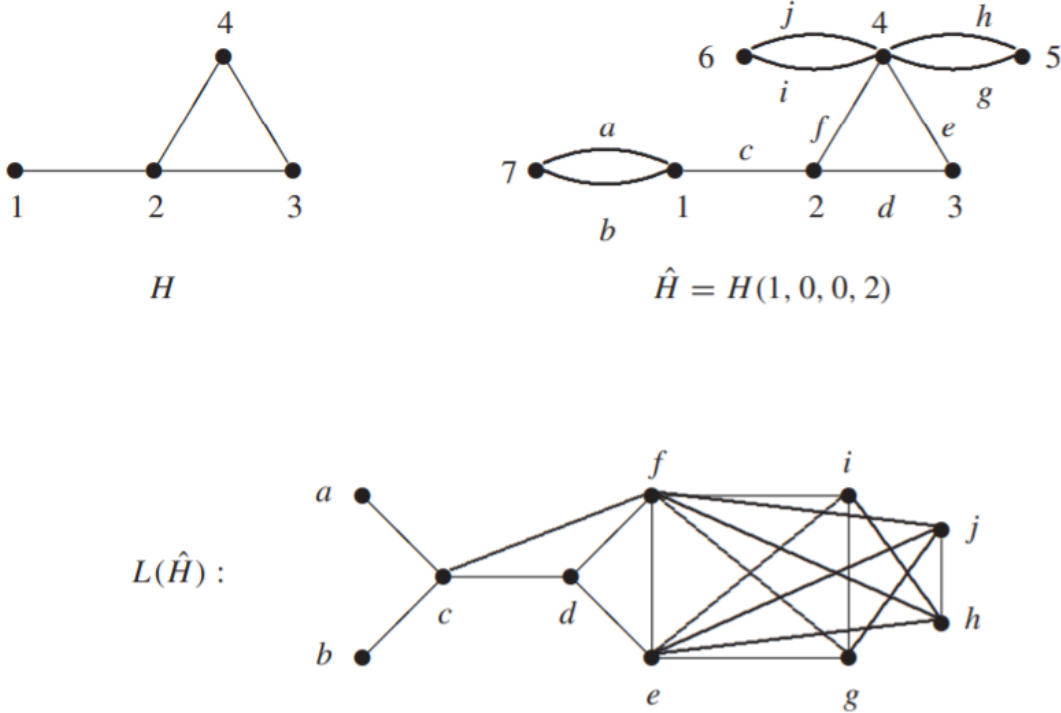
广义线图

前文已介绍线图(line graph)之概念, 即 $L(G)$ 以 $E(G)$ 为顶点集合, 以 $E(G)$ 中的边相邻关系描述 $V(L(G))$ 中的顶点相邻关系. 若在 G 中顶点 j 处添上一条边得图 G' , 则 $L(G)$ 为 $L(G')$ 的某一删点图. 特别地, 记 $A := A(L(G))$, 则 $A(L(G'))$ 具有一般形式 $\begin{pmatrix} 0 & u^T \\ u & A \end{pmatrix}$. 今问, 能否构造图 G'' 使得

$$A(L(G'')) = \begin{pmatrix} 0 & 0 & u^T \\ 0 & 0 & u^T \\ u & u & A \end{pmatrix}.$$

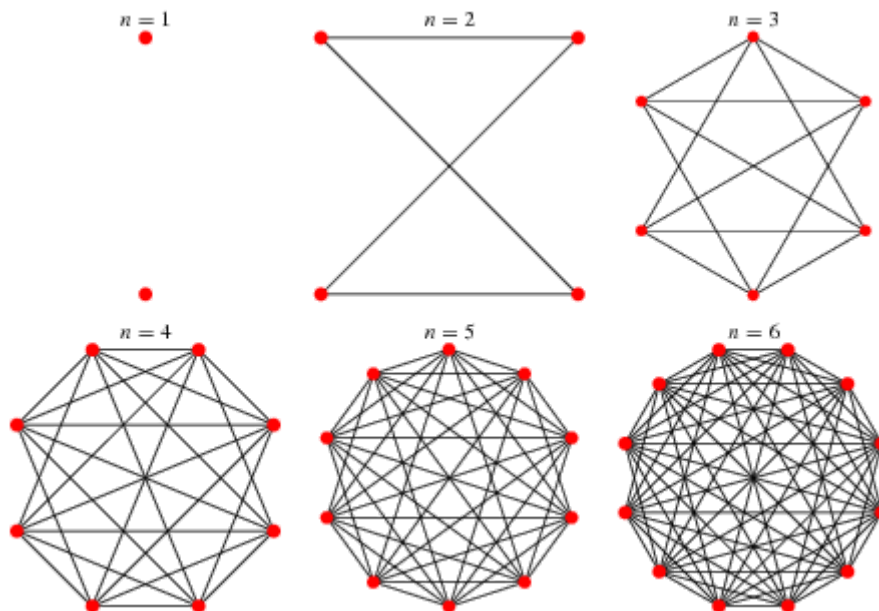
经构造, G'' 并非简单图, 但可通过在简单图上添加重边获得. 由于 $A(L(G''))$ 仍为简单图, 同时具备线图的重要特点: $A(L(G'')) + 2I$ 半正定, 即 $\lambda_{\min} \geq -2$. 现称该类形如 $A(L(G''))$ 的图为广义线图.

如下图所示, 构造广义线图的一般步骤如下:



1. 在简单图 H 的部分顶点处添加若干条"花瓣"(pendant), 即有偶数条重边的添边. 例如 \hat{H} 由 H 于点1上添加一片花瓣, 于点4上添加两片花瓣所得.
2. 仿照线图的定义, 对 \hat{H} 中边进行编号. 其中, 两边相邻若且仅若仅有一个公共顶点. 例如, $i \sim h$, $c \sim a$; 但 $i \not\sim j$.
3. 根据连边关系作线图 $L(\hat{H})$.

特别地, 在单点图 K_1 上作 n 片花瓣所导出的广义线图 $K_{2n} - nP_2$, 亦即 $\overline{nP_2}$. 称 nP_2 为梯图(ladder graph), 其补图 $K_{2n} - nP_2$ 如下图所示.



该类图系cocktail party graph, 通常直译作鸡尾酒派对图, 笔者以字数故更愿译之为醴宴图. 由于笔者不谙西洋文化, 也未曾查阅到cocktail party之相关礼节, 故暂时无法解释其名称之文化背景. 实际上, 该类图为特殊的Turán图 $T(2n, n) = K_{2,2,\dots,2}$, 下文以 $T(2n, n)$ 记之.

对 $T(2n, n)$ 之构造方式不一, 另有"对偶图"构造法. 试将超立方体 Q_n 的 $2n$ 个 $n-1$ 维面视作点, 两点相连若且仅若其对应的两个 $n-1$ 维面相邻, 所构造者即 $T(2n, n)$.

例外图

引入

如上文所述, 所有线图与广义线图的最小特征值不小于 -2 ; 相反, 一切满足 $\lambda_{\min} \geq -2$ 之图并非线图或广义线图. 实际上, Petersen图为反例.

证明. 首先, $\forall u, v \in V, N(u) \neq N(v)$, 从而Petersen图并非广义线图. 不妨设 $L(G)$ 为Petersen图, 由于 $L(G)$ 中相邻两点无公共邻点, 故 G 中没有三条两两相交的边, 从而为若干圈与路的无交并, 检验得矛盾.

若 H 满足 $\lambda_{\min} \geq -2$ 但 H 并非线图或广义线图, 则称之例外图(exceptional graph). 实际上, D. Cvetković(原书作者)等人证明了例外图有限, 并给出了相应的分类方式.

不妨设 A 为某一例外图的邻接矩阵, $n-r$ 为其 -2 特征值重数(允许取0), 则 $A + 2I = Q^T Q$. 其中 $Q = (q_1 | q_2 | \dots | q_n)$ 秩为 r . 由于 $A + 2I$ 之对角元恒为2, 故 $\|q_i\| = \sqrt{2}$. 进一步地, 对 $i \sim j$, q_i 与 q_j 呈夹角 $\frac{\pi}{3}$; 反之 $q_i \sim q_j$. 自此, 对例外图的研究可转化至对 \mathbb{R}^r 中直线系统 \mathcal{L} 之研究.

直线系统 \mathcal{L}

直线系统 \mathcal{L} 可视为一系列(经过原点的) \mathbb{R}^r 中的一维子空间(直线)之并, 每个子空间(直线)与 $\{q_i\}$ 平行, 且两两夹角为 $\frac{\pi}{2}$ 或 $\pi/3$. 若 G 不连通, 则可将 $\{q_i\}$ 分为集合 A 与 B , 使得 $\forall x \in A, \forall y \in B: x \perp y$, 谓之可分解的(decomposable); 反之, 连通例外图的直线系统不可分解(indecomposable, 或irreducible).

三条两两夹角为 $\pi/3$ 的直线往往是引人注目的, 兹称三条两两呈角 $\pi/3$ 且共平面(即可通过平移围成等边三角形的)直线为星状的(star). 称直线系统是星状闭的(star-closed)若且仅若对任意夹角为 $\pi/3$ 的两条直线, 系统中存在第三条直线使得三者形成星状系统. 实际上, 任意 \mathbb{R}^r 中系统一定包含于某一星状闭的系统, 只需对满足 $\|x\| = \|y\| = \sqrt{2}$ 且 $x^T y = 1$ 的两条直线构造 $x - y$ 即可, 经过有限步即可完成闭合化操作.

根系

根系(root system)本系李代数(Lie algebra)概念, 只是上文构建的直线系统能较自然地诱导之. 严格而言, 设有限维欧式空间 E 为 (\cdot, \cdot) 给出的内积空间, 则根系 Φ 为 E 中有限向量集, 满足

- $\text{span}(\Phi) = E$, 从而 $|\Phi| \geq \dim E$.
- $\forall \alpha \in \Phi, k\alpha \in \Phi$ 若且仅若 $k \in \{\pm 1\}$.
- $\forall \alpha \in \Phi$, 对任意垂直于 α 的平面 Γ , Φ 关于 Γ 反射对称. 换言之,

$$\forall \alpha, \beta \in \Phi, \exists \gamma \in \Phi \text{ s.t. } (\beta - \gamma) \perp \alpha, (\beta + \gamma) \parallel \alpha.$$

- $\forall \alpha, \beta \in \Phi, \langle \beta, \alpha \rangle := \frac{2(\alpha, \beta)}{(\alpha, \alpha)} \in \mathbb{Z}$.

其中, 最后一点要求是耐人寻味的, 其间接要求了 α 与 β 之夹角仅能为 $\pi/2, \pi/3, \pi/4$ 或 $\pi/6$. 二元运算 $\langle \cdot, \cdot \rangle : \Phi^2 \rightarrow \mathbb{Z}$ 仅对 β 线性.

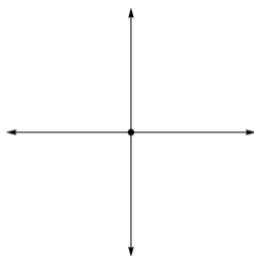
上文已给出不可约根系之定义, 即 $\forall \Phi' \subset \Phi, \exists \alpha \in \Phi', \beta \in (\Phi \setminus \Phi')$ 使得 $(\alpha, \beta) \neq 0$. 以下将根据秩划分不可约根系.

当秩为1时, $\Phi = \{\pm\alpha\}$, 记作 A_1 . 如下图所示.

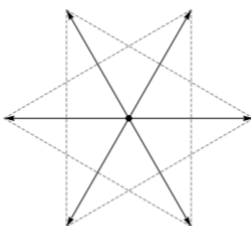


当秩为2时, 分别于 $\{\pi/2, \pi/3, \pi/4, \pi/6\}$ 中取向量 α, β 之夹角 θ 即可.

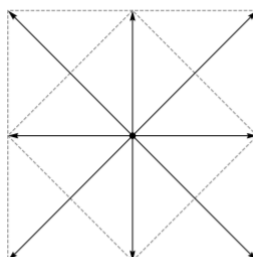
- $\theta = \pi/2$ 时, 图为 $A_1 \times A_1$. 如下图所示(该根系可约).



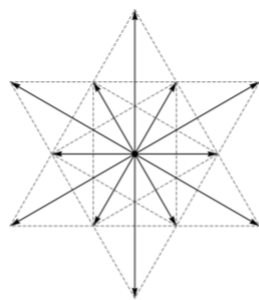
- $\theta = \pi/3$ 时, 图为 A_2 . 如下图所示.



- $\theta = \pi/4$ 时, 图为 B_2 . 如下图所示.

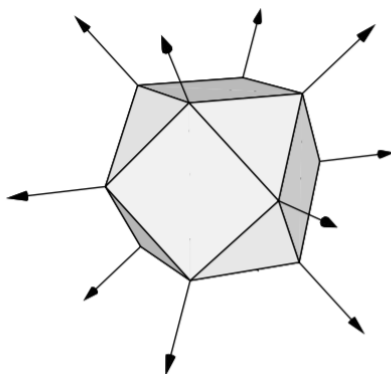


- $\theta = \pi/6$ 时, 图为 G_2 . 如下图所示.

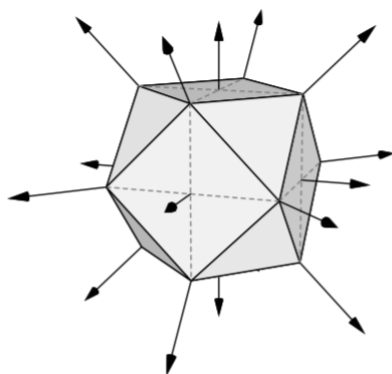


当秩为3时, $A_1 \times A_2$, $A_1 \times B_2$, $A_1 \times G_2$ 及 $A_1 \times A_1 \times A_1$ 均为可约根系. 不可约根系仅有

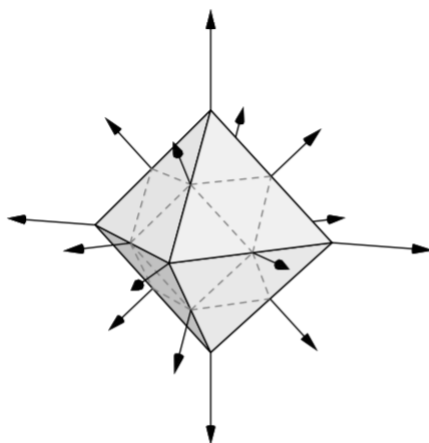
- A_3 . 如下图所示.



- B_3 . 如下图所示.



- C_3 . 如下图所示.



不可约根系分类定理

由于秩大于3的根系无法采用直观的图像描述, 下将引入不可约根系分类理论. 由于根系中向量有限, 故存在 $d \in E$ 使得 $\forall \alpha \in \Phi, (d, \alpha) \neq 0$. 由此可定义

$$\Phi^+(d) := \{\alpha \in \Phi : (\alpha, d) > 0\}.$$

以及相应的 $\Phi^-(d)$. 从而 $\Phi = \Phi^+(d) \dot{\cup} \Phi^-(d)$. 注意到向量未免线性相关, 例如 A_2 中 $\Phi^+(d)$ 内的某个向量可由其余两向量之和表示. 称 $\alpha \in \Phi^+(d)$ 为单的 (simple) 若且仅若其无法表示为 $\Phi^+(d)$ 中两个向量之和 ($\Phi^-(d)$ 中虽可建立等价定义, 但无必要, 因为 $-\alpha$ 与 α 线性相关), 称所有单向量之集为根系的基底. 在正式介绍分类定理前, 以下引理是必要的.

- $\forall \alpha, \beta \in \Phi$ 使得 $(\alpha, \beta) > 0$ 且 $\alpha \neq \beta$, 则 $\alpha - \beta \in \Phi$.

证明: 由于 $\frac{2(\alpha, \beta)}{(\alpha, \alpha)}$ 与 $\frac{2(\alpha, \beta)}{(\beta, \beta)}$ 均为整数, 则其中较小者绝对值为1. 不妨设 $\frac{2(\alpha, \beta)}{(\alpha, \alpha)} = 1$, 则 α 关于垂直于 β 平面对称的向量为 $\alpha - \frac{2\beta(\alpha, \beta)}{(\beta, \beta)} = \alpha - \beta \in \Phi$.

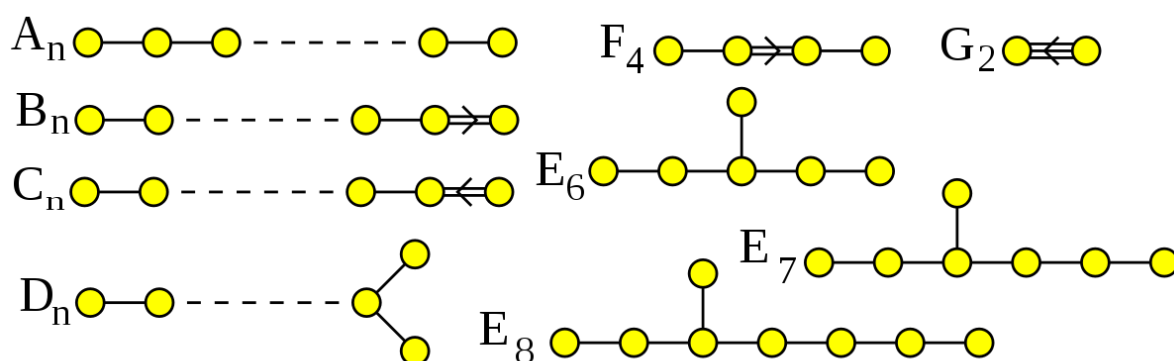
- 所有单的根两两内积非正.

证明: 反之, 设单的根 α, β 满足 $(\alpha, \beta) > 0$, 则 $\alpha - \beta \in \Phi$. 由于 $\alpha - \beta$ 或 $\beta - \alpha$ 中一者属于 $\Phi^+(d)$, 矛盾.

- 所有单的根两两线性独立且张成全空间.
- 根系可分解若且仅若单根集可分解.

返回来, 将 Φ 中向量视作点即可构造 Coxeter 图 (允许重边的无环无向图). 其中 α 与 β 之连边数量为 $4 \cos^2 \theta \in \{0, 1, 2, 3\}$. 对例外图之讨论而言, $\theta = \pi/3$ 或 $\pi/2$ 为仅有的容许值. 构造 Coxeter 图时, 各向量的模长属性似乎被遗忘; 但对于简单图而言, 所有向量模长确实是相同的.

据定义, 不可约根系对应的 Coxeter 图连通. 倘若记 Coxeter 图中的重边是有向的 (指向模长较小的向量), 即得 Dynkin 表. 下将证明: 不可约的 Dynkin 表仅有以下形式:



称一组单位向量 $\{u_i\}_{i=1}^n$ 为可配的若且仅若 $\{u_i\}$ 线性独立且张成全空间, 同时对一切 $i \neq j$ 均有 $(u_i, u_j) \leq 0, 4 \cos^2 \theta \in \{0, 1, 2, 3\}$. 注意到

$$\begin{aligned} 0 &< \left(\sum_i v_i, \sum_i v_i \right) \\ &= \sum_i \|v_i\|^2 + 2 \sum_{i < j} (v_i, v_j) \\ &\leq n - |E| \end{aligned}$$

其中, Dynkin 图边数 $|E|$ 小于顶点数, 从而为树. 进一步推算可知, Dynkin 图无外乎以下情形:

1. 无重边的树.

2. 仅有一条或两条二重边的树.
3. 仅有一条三重边的树.

再者, Dynkin图顶点度数不应大于3. 不妨设 c 有邻点 $\{v_1, \dots, v_k\}$, 由于图中无圈, 故 $\{v_1, \dots, v_k\}$ 两两正交. 设 v_0 为 $c - \sum_{i=1}^k (c, v_i)v_i$ 对应的标准向量, 则 $v_0 = \sum_{i=1}^k (c, v_i)v_i$. 从而

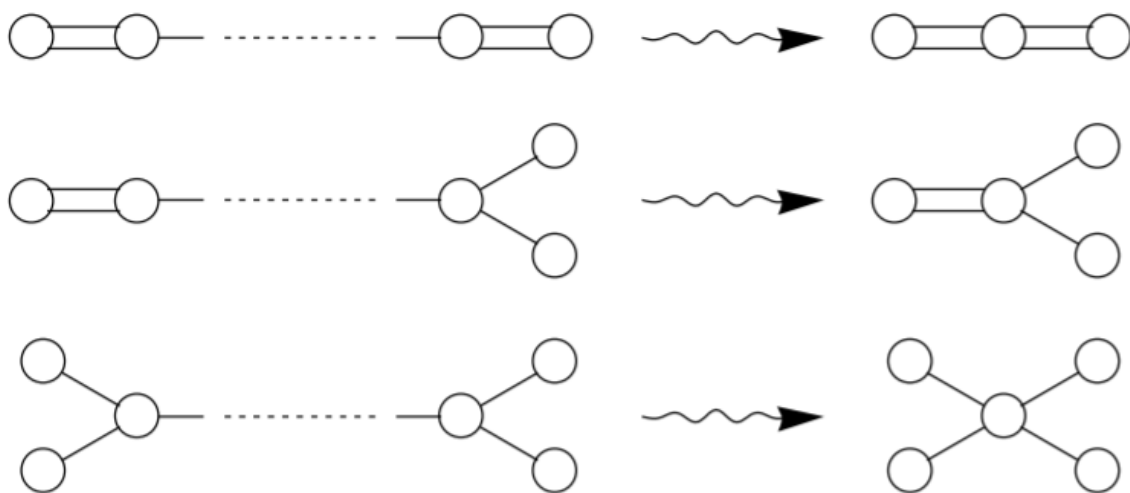
$$1 = (c, c) = (c, v_0)^2 + \sum_{i=1}^k (c, v_i)^2 > \sum_{i=1}^k (c, v_i)^2.$$

从而 $\deg c = \sum_{i=1}^k 4(c, v_i)^2 < 4$. 因此, 仅有一条三重边的树只能为 G_2 .

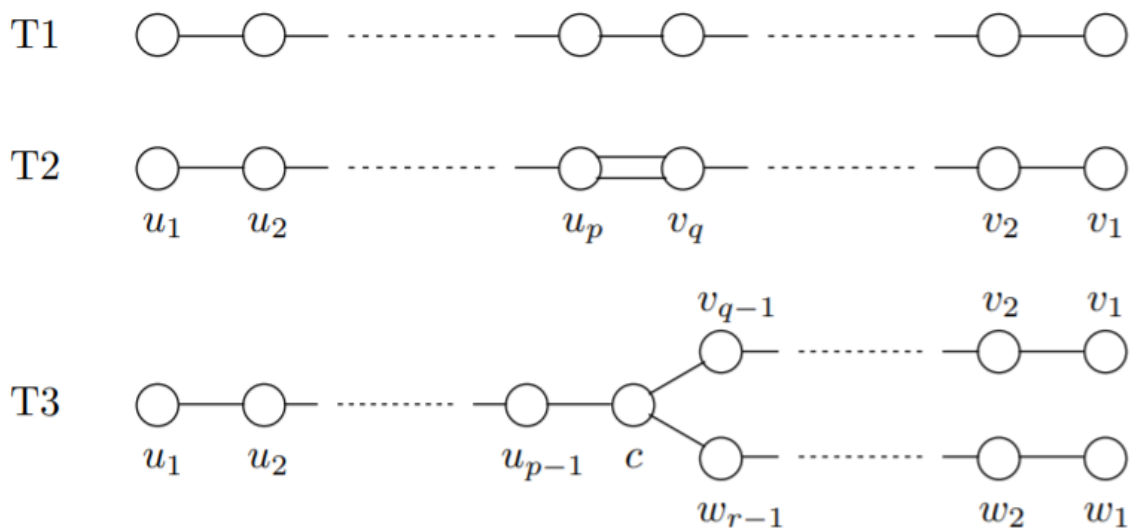
显然, Dynkin图以一系列由单边构成的链条为主体. 不妨设 $v_1 - v_2 - \dots - v_n$ 为链, 记 $v := \sum_{i=1}^k v_i$, 则

$$(v, v) = \sum_{i=1}^k +2 \sum_{i < j} (v_i, v_j) = k - (k - 1) = 1.$$

对 $\{v_i\}_{i=1}^k$ 以外的点 u 而言, u 至多与 $\{v_i\}_{i=1}^k$ 中一点 v_l 相交(由于无圈性), 从而 $2(u, v) = 2(u, v_l) \in \{-1, -\sqrt{2}, -\sqrt{3}\}$. 因此, 可将链等价于一点! 由是可剔除以下三种情形:



凡可能情形悉列如下:



T1构造容易. 欲构造 A_n , 只需在 n 维上半平面作 n 个两两成角 $2\pi/3$ 的向量 $S_n = \{x_1, \dots, x_n\}$, 再研究

$$\pm[S_n \cup \{x_i + x_j : (x_i, x_j \in S_n) \wedge (i \neq j)\}]$$

即可.

T2稍为复杂. 构造 $u = \sum_{i=1}^p i \cdot u_i$, 则对于 $(1 \leq i \leq p-1)$ 均有 $2(u_i, u_{i+1}) = -1$. 展开计算即得

$$(u, u) = \cdots = \frac{p(p+1)}{2}.$$

同理, $(v, v) = \frac{q(q+1)}{2}$, $(u, v) = pq(u_p, v_q)$. 注意到

$$\frac{1}{2} = (u_p, u_q)^2 < \frac{\|u\|^2 \|v\|^2}{p^2 q^2} = \frac{(p+1)(q+1)}{4pq}.$$

移项得 $(p-1)(q-1) < 2$. 从而 $p = q = 2$ 或 $1 \in \{p, q\}$: 前者对应 F_4 , 后者对应 B_n 与 C_n . 容易验证, B_n 或 C_n 可由 A_n 与 $\prod_{i=1}^n A_1$ 之线性组合表示, 比例分别为 $\sqrt{2}$ 与 $\sqrt{1/2}$.

T3同上, 令 $u = \sum_{i=1}^{p-1} i \cdot u_i$, 同理作 v, w . 由于 $\{u, v, w\}$ 彼此正交, 且其线性组合不为 c , 故

$$1 = (c, c) > \sum \frac{(c, u)^2}{\|u\|^2} = \sum \frac{1-p^{-1}}{2}$$

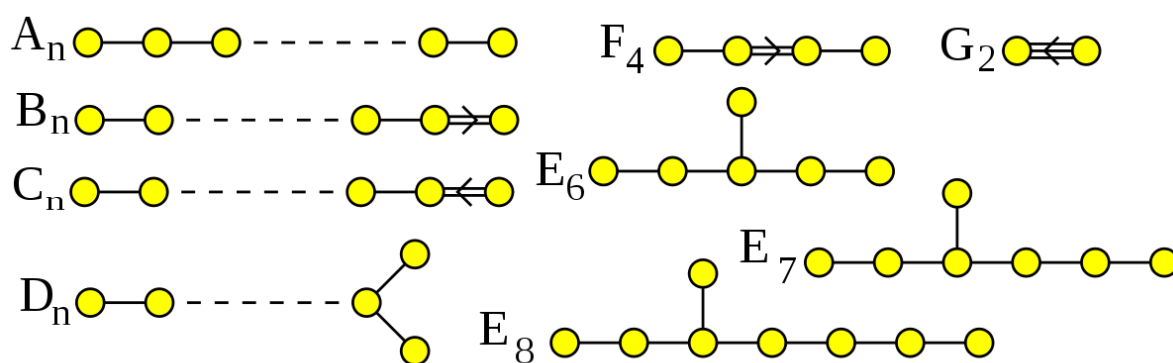
从而 $\frac{1}{p} + \frac{1}{q} + \frac{1}{r} > 1$, $p, q, r \geq 2$. 从而解得以下所有可能的 (p, q, r) :

- $p \in \mathbb{N} \setminus \{0, 1\}$, $q = r = 2$. 对应 D_n .
- $p \in \{3, 4, 5\}$, $q = 3$, $r = 2$. 分别对应 E_6, E_7 与 E_8 .

E_6, E_7 及 E_8 之构造将在下文给出.

例外图有限定理

回顾分类表



由于例外图连通, 故只可能由 A_n, D_n, E_6, E_7 或 E_8 导出. 其中

- $A_n = \{e_i - e_j : e_i, e_j \in \mathbb{R}^{n+1}, i \neq j\}$.
- $D_n = \{\pm e_i \pm e_j : e_i, e_j \in \mathbb{R}^{n+1}, i \neq j\}$.
- $E_8 = D_8 \cup \{\frac{1}{2} \sum_{i=1}^8 \epsilon_i e_i : \epsilon_i = \pm 1, \prod_{i=1}^8 \epsilon_i = 1\}$.
- 同构意义下, 选定 $v \in E_8$, $E_7 = \{x \in E_8 : x \perp v\}$.
- 同构意义下, 选定 E_8 中星状图 (v_1, v_2, v_3) 构成, $E_6 = \{x \in E_8 : x \perp v_i, i = 1, 2, 3\}$.

一切以 -2 为最小特征值的简单图对应的直线系统 \mathcal{L} 在星状闭包下仅可能为 $A_n, D_n, E_i (i = 6, 7, 8)$. 下将证明:

- 图 G 有 A_n 表示若且仅若 G 为某一顶点数为 $n+1$ 的二分图之线图.
- 图 G 有 D_n 表示若且仅若 G 为某一广义线图.

注意到广义线图 $L(G, a_1, \dots, a_m)$ 即线图 $L(G)$ 上添加点

$$\{(i, \pm l) : i = 1, \dots, m, l = 1, \dots, a_i\}$$

所得. 记 $e_i + e_j$ 为 $L(G, a_1, \dots, a_m)$ 中点 ij 对应的向量, $e_i \pm e_{(i,l)}$ 分别对应点 $(i, \pm l)$ 即可得广义线图之 D_n 表示. 若 G 为二分图, 将边 ij 记作 $e_i - e_j$ 即可得 A_n 表示.

从而所有例外图均有 E_8 表示. 由于 $|E_8| = 240$, 例外图有限.

例外图之学问另有洞天, 本文以篇幅故不再展开.